

○山口大学 正員 齋藤 隆  
九州大学 正員 橋 東一郎

## まえがき

常水路の維持あるいは河岸および堤防保護のための基本工法として、しばしば水制が用いられるが、その目的とするところはいずれの場合も水制域の流速を減らすことである。

我々は連続水制の流速減殺效果を調べるために、水路巾全体にわたり木製と水路巾の $\frac{1}{3}$ と $\frac{1}{4}$ の長さの横木水路床にはりつけ実験を行ない、その流況を調べた。

## 実験装置とその方法

柱粗実験：巾 $1.2m$ 、長さ $15.5m$ で $1/600$ 勾配のコレクリート水路K巾 $1.5m$ 、高さ $h_g = 20cm, 40cm$ の2種類の木製横木間隔 $\lambda_{hg} = 5, 10, 20$ の3通りに水路の約 $11m$ 区间にたりつけ、流量を $6 \sim 10$ 通りにえて $1m$ 間隔で水位を測定した。

水制実験：巾 $1.5m$ 、高さ $h_g = 20cm$ 、長さ $b = 30cm$ 、 $60cm$ の木製横木間隔 $\lambda_{hg} = 5, 10, 20$ の3通りの間隔で水路下流端より $2.7m$ から $13.1m$ の $10.4m$ 区间に水制として設置した。

実験は流量を $Q = 10, 20, 30, 40, 50 l/s$ の5通りで流し、水制下流端 $1.1m$ のところの水深が、水制のない場合の等流水深 $h_0$  ( $M=0.0108$ ) に等しくなるまで、水路下流端の水位調節板によって水位を決めた。

$1m$ なり $1.2m$ 間隔で横方向の流量分布を調べるために、水深の $1/3$ の深さの点において横方向の流速分布をピト管を用いて測定した。

## 実験結果

柱粗実験の結果より求めた相当粗度係数 $k_g$ を一定にする河床よりの高さ $b$ については、土木研究所で行なった秋草、吉川、坂上、芦田、土屋氏等の結果と同じ結果が得られた。水制の場合には計画高水位に対する水制高さの割合は $0.2 \sim 0.4$ 程度が大部分であって、水制の高さに較べて水深の $1/3$ のところの等流水深 $h_0$ は水路床と基準 $b$ と三方が便利があるので、水路床を基準とした場合、 $k_g/h_g$ と $k_g/b$ の関係のみを圖-1に示す。

## 連続水制の流況

水制を設置した位置において測定した水制域中央における主流域中央に於ける水位の一例として圖-2 K  $M=0.5$ の場合を示す。水制区间の大半が $1/600$ の勾配で水面は低下していま、水制区间末端において、下流で与えた等流水深 $h_0$ に接続する前に拡大流れにより急激な水面低下を生じている。この水制区间末端における水面変化は水制高さが著しく場合には水制間隔 $\lambda_{hg}$ によく相違があり認められながら、水制高さが短い場合には間にみられる変化より小さくなつていて、水制区间の平均水面勾配より求めた水深が下流で与えた等流水深 $h_0$ と差しあつていい。 $M=0.5$ の場合平均水面勾配線を延長して求めた水深は流量が少なければ $h_0$ に対して大きくなつていいと認められた。

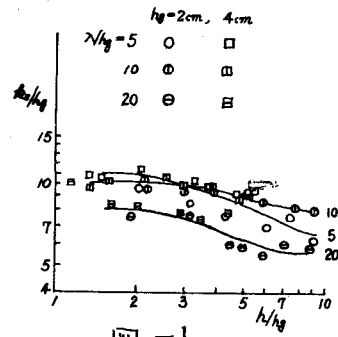


図-1

水制区间の平均水面勾配の傾向をみて  
たまに、下流で与えられた流域水深 $h_f$ と水  
制の高さ $h_g$ の割合 $\lambda h_g$ に対して水面勾配を  
圖示すると、図-3のようになる。

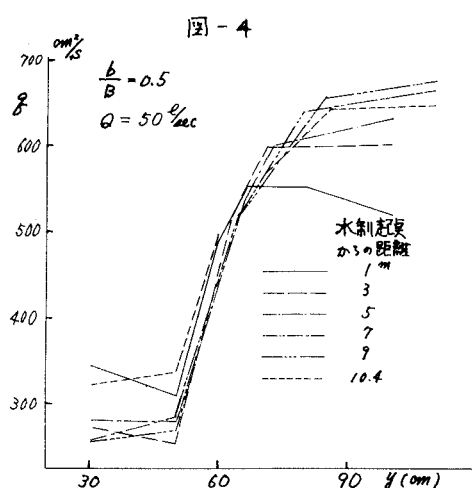
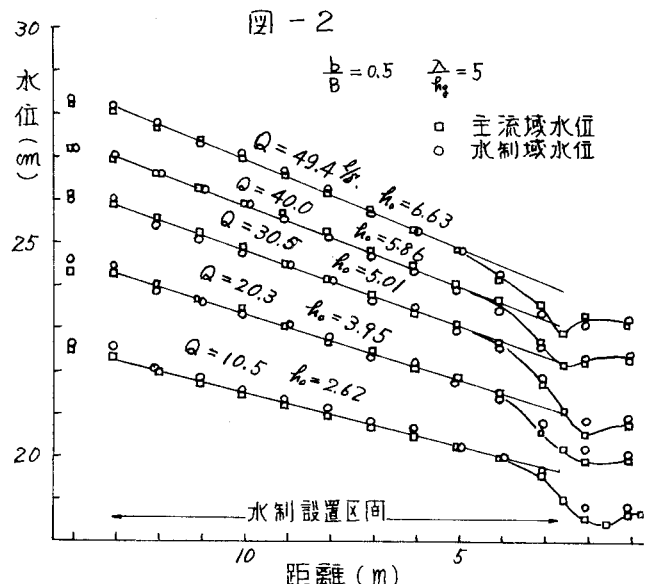
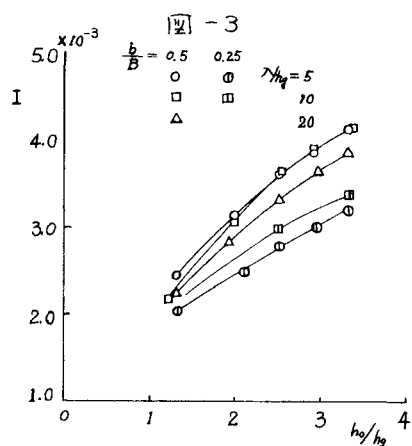
水面勾配は $\lambda h_g$ が大きければ、すな  
わる流量が大きければ、また水制長の  
長さが大きいほど、また水制間隔  
 $\lambda h_g$ による相違は極端な場合、相当  
粗度 $R_p$ の変化と同じような傾向を  
もつていて、 $R_p$ の小さい $\lambda h_g = 20$ の場合に水面勾配が緩くになっている。左ほ  
 $\lambda h_g$ による横勾配の変化は水制長との  
短かい場合の方が大きくなるのである。

横方向の流速分布より求めた流量の  
横方向の分布の一例を示したのが図-

4で、水制域と主流域の間に流量が急激に変化している遷移領域が認められる。この遷移領域の巾は  
流下するにつれて主流域の方へ増大していく。この遷移領域の巾をまとめて表すと、その流れ方向の変化  
の状態を示したのが図-5である。遷移領域の発達は、流量が少ないほど、または相当粗度として考  
えた場合の水制域の相当粗度の小さい方が、即ち水制区间の水深が小さくて主流域と水制域との  
相対的な流量差が大きい場合には、急で一定の

巾をもつまでの距離も短くなるようにならう。

3. 水理学



水制部および主流域を流れの単位巾当たりの流量の流れ方向の変化を、平均の単位巾当たりの流量に対する比で示すと図-6となる。水制起点においてすでに流れは主流域の方に偏りはじめて、渐次主流域では流量が増加し、水制部では減少して、水制起点よりほど5~6mより下流では水深が減少していくが、ある位置では一定の流量が流れている。水制起点における水制域に流れ込む流量をその奥の水深と水制高の比に対する表はしたのが図-7である。

水制起点より7mの位置における水深を用いて、

定常状態。水制域を流れている流量を表すと

図-8のようになる。水制長さが短い方が水制  $\delta$  (cm)

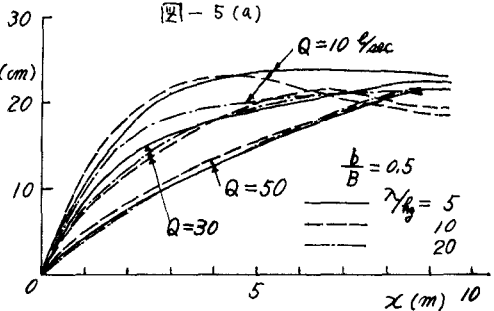


図-5(a)

$$Q = 10 \text{ liter/sec}$$

$$\frac{b}{B} = 0.5$$

$$\frac{\gamma h_g}{\gamma h_0} = 5$$

$$10$$

$$20$$

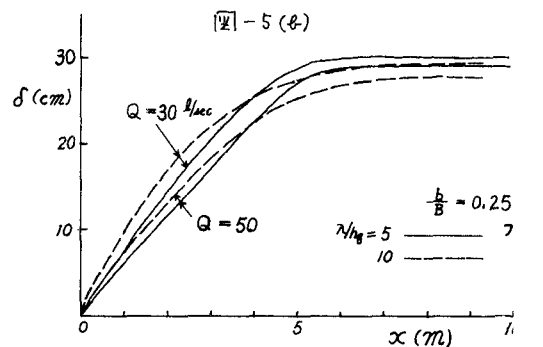


図-5(b)

$$\frac{b}{B} = 0.25$$

$$\frac{\gamma h_g}{\gamma h_0} = 5$$

$$10$$

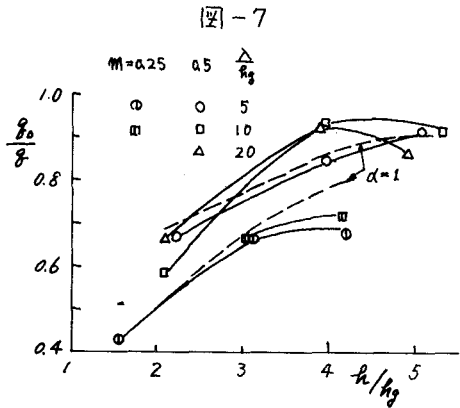


図-7

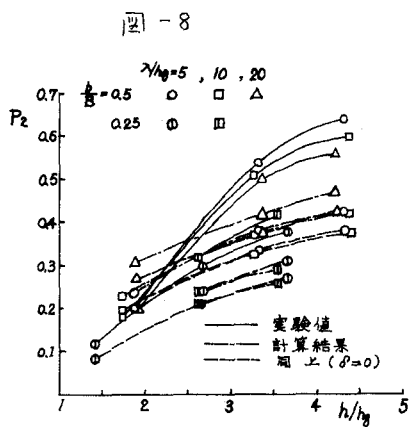


図-8

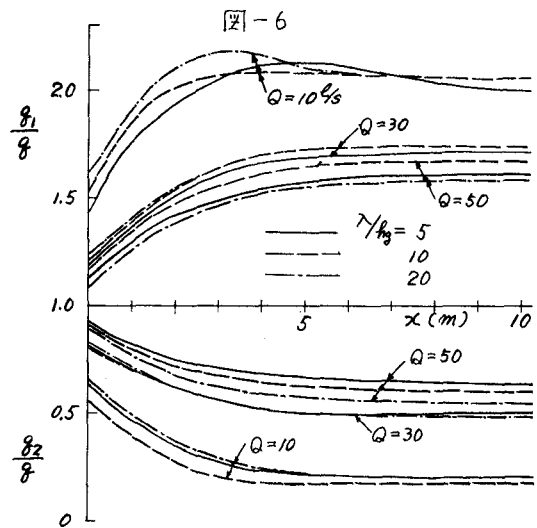


図-6

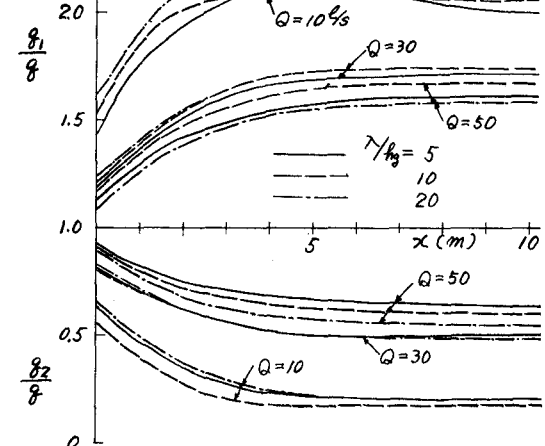


図-6 (continued)

## 実験結果の考察

水制起東より上流の東と、水制起東の主流部および水制部に Bernoulli の式を適用し、この関係を利用して連続の式から水制起東での水制部を流れの流量を求める式を次式のようにす。

$$\frac{g_{20}}{g} = \frac{1}{m + \alpha \frac{g_{20}}{g_{10}} (1-m)}$$

式中の  $\alpha$  は水制部への流れの損失係数であつて、水制起東における実験結果より逆算するとほゞ 1.0 となりし 1.1 程度の値が得られた。

水深  $h$  の横方向の変化はなりものとし、 $\gamma_1 = g_1 P_1 h^2$ 、 $b_1 = (B-b)/B$ 、 $b_2 = b/B$  ( $B$ : 水路幅) とおき、流れ全体についての運動量の式を求める

$$\frac{dh}{dx} \{ 1 - \frac{1}{gh^3} (b_1 g_1^2 + b_2 g_2^2) \} + \frac{2b_1 g_1}{gh^2} \frac{dg_1}{dx} + \frac{2b_2 g_2}{gh^2} \frac{dg_2}{dx} = I_x - \left( \frac{b_1}{g_1^2} \frac{g_1^2}{gh^3} - \frac{b_2}{g_2^2} \frac{g_2^2}{gh^3} \right) \quad (1)$$

水制部および主流部の運動方程式における  $I_x$ 、 $\frac{dh}{dx}$  が同じであることを示す<sup>1)</sup>

$$\frac{dh}{dx} \left\{ - \left( \frac{g_1^2}{gh^3} - \frac{g_2^2}{gh^3} \right) \right\} + \frac{g_1}{gh^2} \frac{dg_1}{dx} - \frac{g_2}{gh^2} \frac{dg_2}{dx} = \frac{1}{g_1^2 gh^3} - \frac{1}{g_2^2 gh^3} \quad (2)$$

連続の式は  $b_1 \frac{dg_1}{dx} + b_2 \frac{dg_2}{dx} = 0$  (3)

(1)、(2)、(3)より、水制のなりときの等流水深を  $h_0$ 、Reynolds 数を  $R^2 = g_1^2/g_0 h_0^3$  とし、 $g_1/g = P_1$ 、 $g_2/g = P_2$ 、 $g_1^2/g_0^2 = \gamma$ 、 $g_2^2/g_0^2 = \gamma'$  とおき、かつ  $R^2$  が小さいとして無視すると、

$$\frac{dh}{dx} = I_x \left\{ 1 - \frac{1}{\gamma^3} \left( b_1 \frac{g_0^2}{g^2} P_1^2 + b_2 \frac{g_0^2}{g^2} P_2^2 \right) + \frac{2}{\gamma^3} \left( \frac{g_0^2}{g^2} P_2^2 - \frac{g_0^2}{g^2} P_1^2 \right) \left( \frac{b_1 b_2 (P_2 - P_1)}{b_1 P_2 + b_2 P_1} \right) \right\} \quad (4)$$

$$-\frac{dP}{dx} = \frac{b_1}{g_0^2} \frac{\left( \frac{g_0^2}{g^2} P_2^2 - \frac{g_0^2}{g^2} P_1^2 \right)}{\gamma (b_1 P_2 + b_2 P_1)} \quad (5)$$

となる。  
(5)式において  $\gamma = \text{const}$  とした場合が吉川氏等の求めた場合にあたり、その場合には解が得られるが、図-2 のように水深の変化が大きく、また  $\gamma$  の変化が影響するので式の検討を進めてみる。

遷移領域。流量の変化を直線と考え、 $g_1 = g_0 \sqrt{g R I}$ 、 $g_2 = g_0 \sqrt{g R I}$  として連続の式より水制域の流量を求める

$$\left( \frac{g_2}{g} \right)_{\text{trans}} = \frac{1}{m \left( 1 + \frac{f}{2b} \right) + \frac{g_1}{g_2} f \left( 1 - m \left( 1 + \frac{f}{2b} \right) \right)}$$

となる。流量配分が一定となつてゐる水制起東より  $x^M$  の位置の水深を用いて、 $f=0$  の場合と、 $f$  の実験値を用いて計算した結果を図-8 に記入してみるが、実験値とよく合致する傾向をもつていて、水制域と主流域の interference がかなり強めのひびきみと思われる。

水制開閉  $\Delta g$  による流量減殺の結果をみると、相当粗粒  $R_{SP}$  で  $\Delta g = 10$  の方が 5 の場合よりも大いのであるが、 $M=0.25$  の場合をみると流量配分は  $\Delta g = 10$  の方が大いし、また  $M=0.5$  の場合  $f$  の値が違う  $\Delta g = 10$  と 20 の場合の流量配分はほとんど同じで、水制域を流れの流量は粗粒のみでなく、主流域に入るの interference が本通りあるものと思われる。

## 参考文献

- 秋草、吉川、芦田、坂上、土屋： 水制に関する研究 土木研究所報告 107 号 6